

# Lezione 14 MSC

## Value-passing CCS

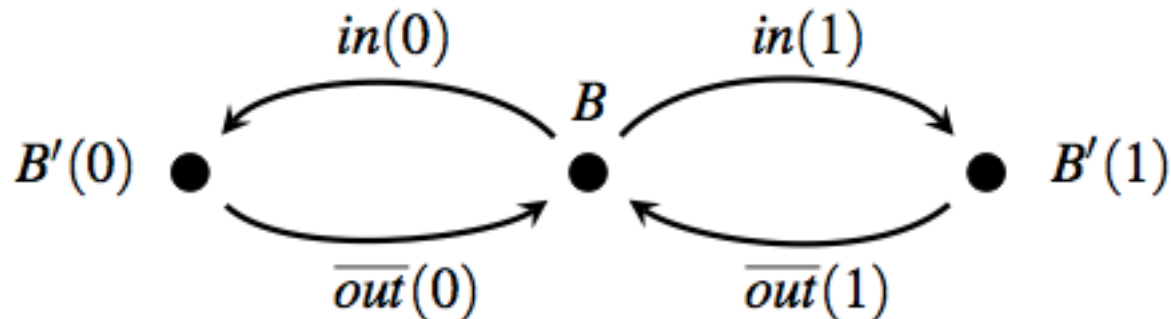
Roberto Gorrieri

# Value-passing

- CCS “puro” ammette solo sincronizzazione, ma non reale comunicazione con scambio di valori.
- Assumiamo di avere un insieme  $D$  di dati (di solito l'insieme  $N$  dei numeri naturali)
- Azioni di input parametrizzate:  $a(x)$
- Azioni di output con valori:  $'a(v)$
- Costanti parametrizzate:  $A(x_1, \dots, x_n) = p$ , intendendo che tutte le  $x_i$  sono distinte e che in  $p$  le variabili possono essere solo i parametri di  $A$ .

# Esempio

- $B = \text{in}(x).B'(x)$        $B'(y) = \text{'out}(y \bmod 2).B$
- La  $x$  di  $\text{in}(x)$  lega il seguito ( $B'(x)$ ). La  $y$  di  $B'(y)$  lega il seguito ( $\text{'out}(y \bmod 2)$ ). (N.B.: l'espressione  $y \bmod 2$  viene calcolata.)
- Se assumiamo che i valori trasmissibili siano solo 0 e 1, allora il suo lts deve essere:



# Sintassi

- Si assume l'esistenza di due categorie sintattiche (non specificate):

- Espressioni aritmetiche  $e, e', \dots$  e.g.,  $3 + x$

- Espressioni booleane  $b, b', \dots$  e.g.,  $x > 2 \ \& \ 2 < y$

$P ::= 0 \mid \mathbf{a(x).Q} \mid \mathbf{'a(e).Q} \mid \text{tau.Q} \mid P + P \mid \mathbf{if\ b\ then\ P\ else\ P}$

$Q ::= P \mid Q|Q \mid (va)Q \mid \mathbf{C(x_1, \dots, x_n)}$

- Un termine  $Q$  è un processo se, oltre ad essere fully defined e guardato, ogni occorrenza di una variabile è legata o da un input o da una definizione di costante.
- Esempio: in  $A(x) = \text{'out}(x+y).B$   $y$  non è legata

# Esempio: if-then-else

- One-position buffer che fa l'output  $n!$  del fattoriale del suo input  $n$ :

$$Fact \stackrel{def}{=} in(x).F(x, 1)$$

$$F(x, y) \stackrel{def}{=} \textbf{if } x = 0 \textbf{ then } \overline{out}(y).Fact \textbf{ else } \tau.F(x - 1, x \times y)$$

dove il numero di passi tau è pari al valore dell'input.

# Semantica SOS

$$\text{(In)} \quad \frac{}{a(x).p \xrightarrow{a(v)} p[v/x]} \text{ for any } v \in D \quad \text{(Tau)} \quad \frac{}{\tau.p \xrightarrow{\tau} p}$$

$$\text{(Out)} \quad \frac{}{\bar{a}(e).p \xrightarrow{\bar{a}(v)} p} \text{ if } e \text{ has value } v$$

---


$$\text{(Cons)} \quad \frac{p[v_1/x_1, \dots, v_n/x_n] \xrightarrow{\mu} p'}{C(e_1, \dots, e_n) \xrightarrow{\mu} p'} \text{ if } C(x_1, \dots, x_n) \stackrel{def}{=} p \text{ and each } e_i \text{ has value } v_i$$


---

$$\text{(Then)} \quad \frac{p \xrightarrow{\mu} p'}{\text{if } b \text{ then } p \text{ else } q \xrightarrow{\mu} p'} \text{ if } b \text{ has value } \textit{true}$$

$$\text{(Else)} \quad \frac{q \xrightarrow{\mu} q'}{\text{if } b \text{ then } p \text{ else } q \xrightarrow{\mu} q'} \text{ if } b \text{ has value } \textit{false}$$


---

# Encoding to VP-CCS su CCS (1)

- L'estensione del value-passing è inessenziale, in quanto è possibile, dato  $p$  in VP-CCS, ottenere un  $p'$  in CCS, tale che i due generino lts isomorfi (a meno di leggero renaming delle etichette).
- Idea dell'encoding: un input  $a(x)$  genera un'azione  $a_v$  per ogni valore  $v$  nell'insieme  $D$  dei dati. Lo stesso per le costanti.
- Esempio: confronta l'lts generato con le regole VP per

$$B = \text{in}(x).B'(x) \quad B'(y) = \text{'out}(y \bmod 2).B$$

con l'lts generato con le regole CCS per

$$PB = \text{in}_0.B_0 + \text{in}_1.B_1 \quad B_0 = \text{'out}_0.PB \quad B_1 = \text{'out}_1.PB$$

# Encoding to VP-CCS su CCS (2)

$$\llbracket \mathbf{0} \rrbracket = \mathbf{0}$$

$$\llbracket a(x).p \rrbracket = \sum_{v \in D} a_v. \llbracket p[v/x] \rrbracket$$

$$\llbracket p_1 + p_2 \rrbracket = \llbracket p_1 \rrbracket + \llbracket p_2 \rrbracket$$

$$\llbracket (va)p \rrbracket = (v\{a_v \mid v \in D\})\llbracket p \rrbracket \quad \llbracket \text{if } b \text{ then } p \text{ else } q \rrbracket = \begin{cases} \llbracket p \rrbracket & \text{if } b \text{ has value } \textit{true} \\ \llbracket q \rrbracket & \text{if } b \text{ has value } \textit{false} \end{cases}$$

$$\llbracket \tau.p \rrbracket = \tau. \llbracket p \rrbracket$$

$$\llbracket \bar{a}(e).p \rrbracket = \bar{a}_v. \llbracket p \rrbracket \quad \text{if } e \text{ has value } v$$

$$\llbracket p_1 \mid p_2 \rrbracket = \llbracket p_1 \rrbracket \mid \llbracket p_2 \rrbracket$$

Moreover, we have  $\llbracket A(e_1, \dots, e_n) \rrbracket = A_{v_1, \dots, v_n}$  if each  $e_i$  has value  $v_i$ . Furthermore, for any single constant definition  $A(x_1, \dots, x_n) \stackrel{\text{def}}{=} p$ , we have a family of constant definitions

$$A_{v_1, \dots, v_n} \stackrel{\text{def}}{=} \llbracket p[v_1/x_1, \dots, v_n/x_n] \rrbracket$$

one for each vector  $(v_1, \dots, v_n) \in D^n$ .



# Encoding to VP-CCS su CCS (3)

- Osserva che il termine ottenuto è davvero un termine CCS solo se l'insieme dei dati  $D$  è finito. Altrimenti avremmo:
  - Somma infinita in corrispondenza di input
  - Infinite costanti per implementarne una di VP-CCS
  - Restrizione su insiemi infiniti

# Encoding to VP-CCS su CCS (4)

- Correttezza dell'encoding (con  $D$  finito):

**Proposition 3.8.** *Given a finite set  $D$  of values, the lts for a value-passing CCS process  $p$ , generated with the rules of Table 3.2, is isomorphic (modulo renaming of  $a(v)$  with  $a_v$ ) to the lts for the pure CCS process  $\llbracket p \rrbracket$ , generated with the rules of Table 3.1.*

*Proof.* One has to prove that  $p \xrightarrow{a(v)} p'$  implies  $\llbracket p \rrbracket \xrightarrow{a_v} \llbracket p' \rrbracket$  and, conversely, that  $\llbracket p \rrbracket \xrightarrow{a_v} q$  implies there exists  $p'$  such that  $q = \llbracket p' \rrbracket$  and  $p \xrightarrow{a(v)} p'$ . (Analogously, for the other labels  $\bar{a}(v)/\bar{a}_v$  and  $\tau$ .) This can be proved by induction on the proof of the transitions and is left as an exercise to the reader. Then, the bijection  $f$  maps a value-passing CCS process  $p'$  reachable from  $p$  to its encoding  $\llbracket p' \rrbracket$ .  $\square$

# CCS-VP e $\pi$ -calcolo

- In CCS-VP si assume che l'insieme dei dati  $D$  e l'insieme delle azioni  $Act$  siano disgiunti, così che un valore ricevuto non possa poi essere usato come canale di comunicazione:
- $a(x).x(b).C$  qui il valore  $v$  ricevuto da  $a$  viene poi usato come nome di canale per trasmettere il valore  $b$ .
- Se i nomi dei canali diventano valori trasmissibili, allora il linguaggio permette mobilità dei canali e struttura a flow-graph riconfigurabili dinamicamente. Questi aspetti sono trattati nel  $\pi$ -calcolo.

# Esempio (1): Buffers

Specifica sequenziale:  $B_{fifo} \stackrel{def}{=} in(x).B_1(x)$   
Buffer FIFO:  $B_1(x) \stackrel{def}{=} in(y).B_2(y,x) + \overline{out}(x).B_{fifo}$   
 $B_2(x,y) \stackrel{def}{=} \overline{out}(y).B_1(x)$

Buffer BAG:  $B_{bag} \stackrel{def}{=} in(x).B'_1(x)$   
 $B'_1(x) \stackrel{def}{=} in(y).B'_2(y,x) + \overline{out}(x).B_{bag}$   
 $B'_2(x,y) \stackrel{def}{=} \overline{out}(x).B'_1(y) + \overline{out}(y).B'_1(x)$

- N.B: i due non sono equivalenti! A meno che  $|D| = 1$
- N.B: se D ha k elementi, mi servono  $k^2 + k + 1$  costanti in CCS puro.

# Esempio (1): Buffers (2)

- One position buffer:  $B \stackrel{def}{=} in(x).B'(x), B'(x) \stackrel{def}{=} \overline{out}(x).B$
- Implementazione parallela del bag-buffer:  $B \mid B$
- $B \mid B$  è strongly bisimile a  $B_{bag}$  perché

$$R = \{(B_{bag}, B \mid B)\} \cup \{(B'_1(v), B'(v) \mid B) \mid v \in D\} \cup \{(B'_2(u, v), B'(v) \mid B'(u)) \mid u, v \in D\}$$

$R$  è una strong bisimulation up to  $\sim$ .

# Esempio (1): Buffers (3)

- Pipeline Buffer: Implementazione parallela del FIFO Buffer

$$Buf \stackrel{def}{=} (\nu d)(Buf_1 \mid Buf_2)$$

$$Buf_1 \stackrel{def}{=} in(x).Buf'_1(x) \qquad Buf'_1(x) \stackrel{def}{=} \bar{d}(x).Buf_1$$

$$Buf_2 \stackrel{def}{=} d(x).Buf'_2(x) \qquad Buf'_2(x) \stackrel{def}{=} \overline{out}(x).Buf_2$$

- Buf è weakly bisimile a  $B_{fifo}$  perché

$$\begin{aligned} S = & \{(B_{fifo}, Buf)\} \cup \{(B_{fifo}, (\nu d)(Buf_1 \mid Buf_2))\} \cup \\ & \{(B_1(v), (\nu d)(Buf'_1(v) \mid Buf_2)) \mid v \in D\} \cup \\ & \{(B_1(v), (\nu d)(Buf_1 \mid Buf'_2(v))) \mid v \in D\} \cup \\ & \{(B_2(u, v), (\nu d)(Buf'_1(u) \mid Buf'_2(v))) \mid u, v \in D\} \end{aligned}$$

è una weak bis.

## Esempio (2): Unbounded bag buffer

- Specifica sequenziale:

$$UB(\varepsilon) \stackrel{def}{=} in(x).UB(x)$$

$$UB(x_1, \dots, x_n) \stackrel{def}{=} \sum_{i=1}^n \overline{out}(x_i).UB(x_1, \dots, x_{i-1}, x_{i+1}, \dots, x_n) + in(y).UB(y, x_1, \dots, x_n)$$

- La traduzione in CCS puro produrrebbe infinite costanti (anche se D è finito) perché le tuple possono crescere indefinitamente.
- Implementazione:  $U \stackrel{def}{=} in(x).(U \mid \overline{out}(x).0)$
- Esercizio: dimostra che U e UB( $\varepsilon$ ) sono strong bisimili!

## Esempio (3): Stack

- Specifica sequenziale di uno stack:

$$Stack(\epsilon) \doteq empty.Stack(\epsilon) + push(x).Stack(x)$$

$$Stack(x\sigma) \doteq \overline{pop}(x).Stack(\sigma) + push(y).Stack(yx\sigma)$$

- Anche se D è finito, mi servono infinite costanti in CCS puro, perché il parametro  $\sigma$  può crescere indefinitamente.



## Esempio (3): Stack (2)

- Simile al counter:

$$S \stackrel{def}{=} \text{empty}.S + \text{push}(x).((\nu a)(S_1(x) \mid a.S))$$

$$S_1(x) \stackrel{def}{=} \overline{\text{pop}}(x).\bar{a}.\mathbf{0} + \text{push}(y).((\nu b)(S_2(y) \mid b.S_1(x)))$$

$$S_2(y) \stackrel{def}{=} \overline{\text{pop}}(y).\bar{b}.\mathbf{0} + \text{push}(x).((\nu a)(S_1(x) \mid a.S_2(y)))$$

- Usa solo  $2k + 1$  costanti in CCS puro, se  $D$  ha  $k$  elementi.
- Si può dimostrare che  $\text{Stack}(\varepsilon)$  è weakly bisimile a  $S$ , nello stesso modo in cui abbiamo dimostrato l'analogo per il counter.

# Esempio (4): Coda ovvero Unbounded Fifo buffer

- Specifica sequenziale:

$$Queue(\varepsilon) \stackrel{def}{=} empty.Queue(\varepsilon) + in(x).Queue(x)$$

$$Queue(x\sigma) \stackrel{def}{=} \overline{out}(x).Queue(\sigma) + in(y).Queue(x\sigma y)$$

- Implementazione:

$$Q \stackrel{def}{=} empty.Q + in(x).((\nu l)(L(x) \mid H))$$

$$L(x) \stackrel{def}{=} \overline{out}(x).\bar{l} \quad H \stackrel{def}{=} l.Q + in(x).((\nu l')(M'(x) \mid H')) \quad M'(x) \stackrel{def}{=} l.L'(x)$$

$$L'(x) \stackrel{def}{=} \overline{out}(x).\bar{l}' \quad H' \stackrel{def}{=} l'.Q + in(x).((\nu l)(M(x) \mid H)) \quad M(x) \stackrel{def}{=} l'.L(x)$$

# Esempio (4): Coda ovvero Unbounded Fifo buffer (2)

- Implementazione: lista di processi che cresce verso destra ed ha la forma

$$\dots L(v_1) \mid \dots \mid M(v_2) \mid \dots \mid M(v_3) \mid \dots \mid H \dots$$

dove L rappresenta la coda (left), i vari M gli elementi intermedi, e H la testa (head) dove inserire nuovi elementi in coda.

- Se facciamo l'out di  $v_1$  e un input di  $v_4$ , la nuova configurazione diventa

$$\dots \mathbf{0} \mid \dots \mid L(v_2) \mid \dots \mid M(v_3) \mid \dots \mid M(v_4) \mid \dots \mid H \dots$$

dove  $L(v_1)$  è diventato 0, ed ha trasformato  $M(v_2)$  in  $L(v_2)$ .

# Esempio (4): Coda ovvero Unbounded Fifo buffer (3)

$$\begin{array}{lcl}
 Q & \xrightarrow{in(v_1)} & (vl)(L(v_1) \mid H) \\
 & & (vl)(L(v_1) \mid (vl')(M'(v_2) \mid H')) \\
 & & (vl)(\mathbf{0} \mid (vl')(L'(v_2) \mid H')) \\
 & & (vl)(\mathbf{0} \mid (vl')(L'(v_2) \mid (vl)(M(v_3) \mid H))) \\
 & & (vl)(\mathbf{0} \mid (vl')(\mathbf{0} \mid (vl)(L(v_3) \mid H))) \\
 & & (vl)(\mathbf{0} \mid (vl')(\mathbf{0} \mid (vl)(\mathbf{0} \mid Q)))
 \end{array}
 \qquad
 \begin{array}{l}
 \xrightarrow{in(v_2)} \\
 \xrightarrow{\overline{out}(v_1)} \xrightarrow{\tau} \\
 \xrightarrow{in(v_3)} \\
 \xrightarrow{\overline{out}(v_2)} \xrightarrow{\tau} \\
 \xrightarrow{\overline{out}(v_3)} \xrightarrow{\tau}
 \end{array}$$

- Dimostrare che  $Q$  e  $Queue(\varepsilon)$  sono weak bisimili è difficile (vedi sezione 3.6 del libro).